

Вивчення місцевої теплової дії електромагнітних хвиль довжиною 3 см на тварин

В. І. Мирутенко

Лабораторія біофізики Інституту фізіології ім. О. О. Богомольця
Академії наук УРСР, Київ

Питанню про теплову дію поля електромагнітних хвиль сантиметрового діапазону присвячена велика кількість праць.

Ще в 1940 р. В. І. Романов вказав на основні процеси, які приводять до поглинання електромагнітних хвиль у біологічних субстратах. Ці процеси проявляються: у втраті енергії за рахунок іонної провідності середовища, у втраті енергії внаслідок релаксаційних коливань дипольних молекул середовища та в резонансному поглинанні енергії хвиль молекулами середовища. Analogічні висловлювання є також у П. П. Лазарєва (1935) і А. М. Кугушева (1937).

Відомо, що іонна провідність зумовлена міжклітинною рідинною. При збільшенні частоти мікрохвиль ця рідина бере дедалі більшу участь в загальній провідності тканин. При частотах, що дорівнюють 10^6 гц і більше провідність тканин залишається приблизно сталою, але на більш високому рівні. Проте, при збільшенні частоти до $3 \cdot 10^9$ — $3 \cdot 10^{10}$ гц ступінь поглинання енергії підвищується. Отже, це збільшення поглинання енергії треба шукати в інших механізмах, одним з яких є аномальне поглинання. Суть аномального поглинання, за теорією Дебая, полягає у витрачанні енергії на коливання дипольних молекул середовища (особливо води).

Максимальне поглинання енергії хвиль, за уявленнями Шван і Пірсол (1954), Робертс і Кук (1952) і А. С. Пресмана (1956), в тканинах живих організмів можливе при частотах, які дорівнюють оберненому часу релаксації дипольних молекул. Наприклад, для води час релаксації $\tau = 10^{-11}$ сек. і максимальне поглинання енергії відзначатиметься в ділянці частот 10^9 — 10^{11} гц.

Якщо електромагнітні хвилі довжиною 10 см поглинаються на 50% внаслідок коливання дипольних молекул середовища, то хвилі довжиною 3 см поглинаються на 98%.

Всі ці процеси — іонна провідність, коливання дипольних молекул середовища, резонансне поглинання є причиною перетворення енергії хвиль в тепло в тканинах тварини або людини, що проявляється в підвищенні їх температури. Передача тепла в тканинах зумовлюється їх теплопровідністю. На процес передачі тепла від однієї ділянки тіла до іншої дуже впливає циркуляція крові, яка зменшує різницю між температурами тканин.

Вивчення теплового ефекту мікрохвиль становить інтерес з точки зору з'ясування якісного та кількісного характеру зміни градієнта температури на різній глибині від поверхні тіла, яке піддають опроміненню.

В експериментальних дослідженнях, виконаних різними авторами у 1947—1950 рр. при умовах загального опромінення, одержані супереч-

ливі результати. Так, опромінюючи стегно собаки потужністю 65—80 вт (випромінювач сферичного типу), на відстані 5 см від поверхні тіла тварини протягом 15—20 хв. ($\lambda=12,25$ см), Леден та інші (1947), Круzen та інші (1947), Вакім та інші (1948) відзначали більше підвищення температури в глибоких тканинах тварин, ніж на поверхні шкіри і підшкірних тканинах (додатній температурний градієнт). На відміну від цього Осборн і Фредерік (1949), Марфі та ін. (1950), Рей та ін. (1949) показують, що при опромінюванні стегна собаки в тих же умовах, крім потужності генератора $P=100—125$ вт підвищення температури в м'язових тканинах менше, ніж у шкірі і підшкірних тканинах (від'ємний температурний градієнт). До цієї групи праць належать дослідження М. В. Тягіна (1957) і В. І. Мирутенка (1960) ($\lambda=3$ см).

Група авторів — Ворден та ін. (1948), Хорватс та ін. (1948), Бойль, Кук і Буханан (1950) — вважають можливим як додатній, так і від'ємний температурний градієнт. Застосовуючи методику притискування тварини до аплікатора (місцеве опромінення), Бойль, Кук і Буханан (1950), а також Кук (1952) показали наявність двох максимумів підвищення температури: один в шкірі і підшкірній клітковині, а другий в глибших шарах тканини.

Суперечливість цих результатів пояснюється різними технічними умовами проведення досліджень.

В зв'язку з цим ми дослідили тепловий ефект при застосуванні електромагнітних хвиль в імпульсному режимі в залежності від інтенсивності поля і тривалості дії на тварин, методом хвилеводного дозиметра з відомою кількістю поглинутої енергії.

Методика досліджень

Експериментальна установка хвилеводного дозиметра, яка була нами використана, показана на рис. 1.

Оцінку погодження схеми визначали за коефіцієнтом стоячої хвилі (КСХ). Електромагнітна енергія ($\lambda=3$ см) від генератора (1) надходить у хвилеводний тракт через дозуючий аттенюатор (2). Частина енергії (1/1000) надходить у направлений фіксований відгалужувач (3) і реєструється вимірювачем потужності (7). Падаюча енергія у відгалужувач (4) не надходить в зв'язку з конструктивними особливостями направлених відгалужувачів. Тварину притискають до рупора-аплікатора (6) і, якщо відзначається відбивання енергії, за допомогою трансформатора повних опорів (5) домагались максимального погодження, тобто мінімального відбиття. Відбита енергія надходить у відгалужувач (4) і реєструється приладом (8). Якщо прилади (7) і (8) ідентичні, то нема необхідності знати абсолютні значення потужності, тому що коефіцієнт відбивання дорівнює кореню квадратному від відношення показань вимірювальних приладів, тобто $\sqrt{\frac{n_8}{n_7}} = q$. Передбачається, що погодження системи або навантаження з хвилеводним трактом задовільне, якщо КСХ системи не більший або дорівнює 1,5. (Детальне викладення теорії з цього питання див. у книзі Р. А. Валитова і В. Н. Сретенського «Радиоізмерення на сверхвисоких частотах», Военіздат, 1958).

$$KCH = \frac{1+q}{1-q} .$$

У наших дослідах КСХ був у межах $1,1 \leq KCH \leq 1,3$. При такій методиці опромінення і при коливанні КСХ від 1,1 до 1,3 енергія, яка поглинається в тваринному організмі, дорівнює 88—95% від падаючої. При більш задовільному погодженні припускається, що поглинута енергія дорівнює падаючій.

Аналогічний метод опромінення тварин і людини вперше застосували Бойль, Кук і Буханан (1950); потім його успішно використовували Кук (1952), Вендрік і Вос (1958); О. С. Пресман (1956, 1957, 1958); О. С. Пресман і Ю. І. Каменський (1961).

Слід відзначити, що експериментальна установка, яка була застосована в наших дослідах, відрізняється своєю простотою і достатньою надійністю погодження, без використання вимірювальної лінії.

В умовах загального опромінення, якщо опромінений об'єкт перебуває в

межах дальніої зони, тобто при $R \geq \frac{D^2}{4}$ (де D — діаметр розкриття антени, а R — відстань до об'єкта) на нього падає плоска хвиля і розподіл електромагнітного поля рівномірний по всьому об'єкту. Відмінна від цього картина спостерігається в умовах місцевого опромінення. В наших дослідах був використаний аплікатор циліндричної форми в діаметрі 3 см, що відповідає площині опромінення $7,06 \text{ см}^2$. Для вивчення дозного поля і розподілу енергії в мікрохвильовому пучку були проведені модельні досліди на агар-агарових фантомах. Такий фантом притискували до аплікатора зазначененої площини, після чого вимірювали збільшення температури при опроміненні надвисоко-частотним полем (НВЧ) в площині, перпендикулярній апертурі аплікатора. Опромінення тривало 10 хв. при інтегральній дозі $1,6 \text{ вт}$, яку визначали за допомогою вимірювача малої потужності 45-I шляхом безпосереднього підключення його до аплікатора. Температуру вимірювали крапковим термістом

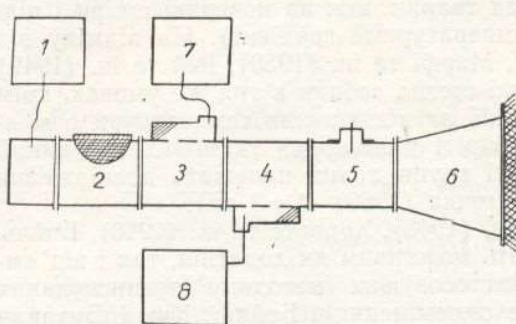


Рис. 1. Принципова схема хвилеводного дозиметра.
Пояснення в тексті.

ром через кожні 3 мм по горизонтальних прямих, паралельних площині аплікатора. Точки з однаковою температурою з'єднували і таким способом утворювались криві ізотерм, пропорціональні кривим ізодоз.

З рис. 2 видно, що густина потоку потужності розподілена нерівномірно по розрізу аплікатора. Максимальний потік потужності відзначається в центрі аплікатора і в площині, перпендикулярній електричним силовим лініям (рис. 2), повільно спадає до країв розрізу, а в площині, паралельній електричним силовим лініям, практично залишається сталим (рис. 2).

Справжній розподіл потужності в живому організмі (тварини або людини) трохи відрізняється в звязку з неоднорідністю тканини організму (шкіра, підшкірний жировий шар, м'язи), наявністю кровообігу та його зміни під впливом енергії мікрохвиль та розширенням судин тощо.

Природно, що і тепловий ефект у тварин під впливом енергії мікрохвиль буде нерівномірним як за площею, так і за глибиною. Однак для того, щоб кваліфікувати умови досліду і їх відтворність найбільш однозначно, ми вирішили падаючу на об'єкт енергію виражати у ватах на квадратний сантиметр у вигляді відношення вимірюваної сумарної енергії, вираженої у ватах, до площині розрізу аплікатора, вираженої у квадратних сантиметрах. Максимальна енергія при цьому буде в центрі аплікатора, а мінімальна по краях.

Піддослідними тваринами були білі щури віком від 3 до 3,5 міс., вагою від 200 до 220 г. Опромінення проводилося збоку в межах живота.

Температуру реєстрували в процесі опромінення за допомогою мікротермоопорів МТ-54 шестиканальним, електронним, самозаписуючим потенціометром з точністю до другого десятичного знака.

Було проведено три серії досліджень.

В кожній серії дослідів було опромінено по 15 тварин при густині потоку потужності відповідно $0,1; 0,22; 0,35 \text{ вт}/\text{см}^2$. Оскільки електромагнітне проміння з довжиною хвилі 3 см поглинається на глибині кількох міліметрів у підшкірних тканинах тварини (Шван і Лі, 1956), то для вимірювання температури при опроміненні були

взяті точки наркозом.

Температури точках, а срини і в інсили у вигляді тяжки 10 мкатора боксатора викигія дорівнює протягом 2-нення трирів:

На рівні температу сивностях приріст та опромінен тобто T_1 температу ратури, ніж нім арифі

Збільшення енергії хвилі $0,1 \text{ вт}/\text{см}^2$ відбувається одночасно з температурою часом пребування від току потужності 0,35 ват на густині

На рис. 3, відповідно до п'ятої хвилі, кількість тій кількості фузій, використовується для опромінення

На гравію від природи вищується менших з

Наши 1952) дання тваринною, якщо зниження

Завдяки Кларк і (при $\lambda = 3 \text{ см}$) відповідних тканин, що підвищують опромінення на

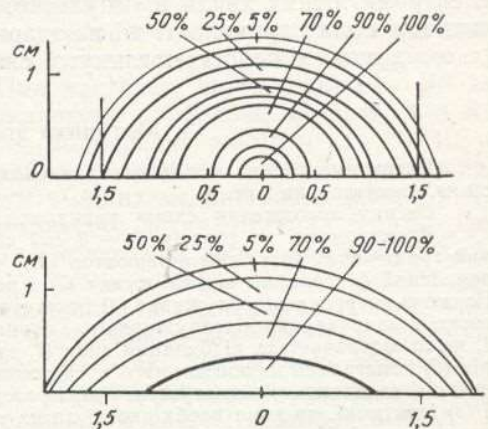
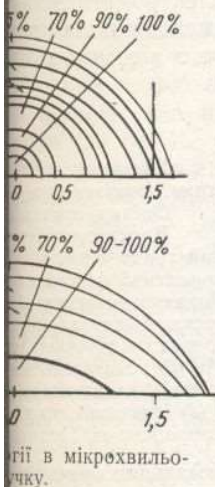


Рис. 2. Розподіл енергії в мікрохвильовому пучку.
Зверху — в площині, перпендикулярній електричним силовим лініям, знизу — в площині, паралельній електричним силовим лініям (поле $H01$).

розкриття антени, яка і розподіл електричного поля від цього картина слідах був використано циліндричної форми з 3 см, що відповідає мінення 7,06 см². Для цього поля і розподілу мікрохвильовому пучку дійсні модельні дослідів фантомах. Такий тискували до аплікаторної площини, після чого збільшення температуропроміненні надвисокочастотним (НВЧ) в площині кулярній апerture апарату опромінення тривало тегральній дозі 1,6 вт, ли за допомогою вимірювання потужності 45-1 шляхом підключення аплікатора. Температуру крапковим термістом площині аплікатора утворювались криві



відмінення в мікрохвильовому пучку.

опендикулярний електричний в площині, силовим лініям

також у квадратних секторах, а мінімальна

5 міс., вагою від 200

до 1000 грамів мікротермоопто-

метром з точністю

0,01°С.

густині потоку потужності проміння з довжиною підшкірних тканин опромінення були

взяті точки на глибині 1, 2, 2,5 і 3 мм. Під час досліду всі щури були під ефірним наркозом.

Температуру вимірювали до, під час і після опромінення одночасно в п'яти-шести точках, а саме: на вказаних глибинах у прямій кишці, на протилежному боці тварини і в інших місцях (спина, праве чи ліве стегно тощо). Відмітку температури наносили у вигляді крапки на масштабний папір з інтервалом у 15 сек. та з швидкістю протягки 10 мм/хв. Тварину фіксували в спеціальному станку і притискували до аплікатора боковою частиною черевної порожнини. Щільне притиснення тварини до аплікатора виключає розсіювання енергії і при задовільному погодженні поглинута енергія дорівнює падаючій. Включали запис температури і, коли температура тварини протягом 2—3 хв. залишалась сталою, включали джерело випромінювання. Опромінення тривало 15—20 хв., з одночасним записуванням температури.

Результати досліджень

На рис. 3 (а, б, в) наведені результати вимірювання підвищення температури в підшкірних шарах тканин тварини при відповідних інтенсивностях. На осі абсцис відкладено час у хвилинах, а на осі ординат — приріст температури, який дорівнює різниці між температурою при опроміненні за час t , тобто $T^{\circ}\text{C}$, і початковою температурою тканини, тобто $T_0^{\circ}\text{C} = T_0^{\circ}\text{C} - \Delta T^{\circ}\text{C}$. Щоб виключити індивідуальні коливання температури кожної тварини, зручніше користуватись приростом температури, ніж її абсолютними значеннями. Кожна крива на рис. 3 є середнім арифметичним з 15 дослідів.

Збільшення температури є результатом безпосереднього впливу енергії хвиль. При досить великих інтенсивностях НВЧ- поля (0,3—0,1 вт/см²) в опроміненні ділянці температура тканин тіла збільшується одночасно з початком опромінення. З рис. 3 (а, б, в) видно, що температура підшкірних тварин в перші 2,5—3 хв. збільшується лінійно з часом при опроміненні. Тривалість лінійного росту температури залежить від глибини вимірювання температури, а також від густини потоку потужності. Так, на рис. 3, а, де густина потоку потужності дорівнює 0,35 вт/см², швидкість підвищення температури більша, ніж при густині потоку потужності відповідно в 0,22 і 0,1 вт/см².

На третій хвилині опромінення (рис. 3, а, б) і трохи раніше (рис. 3, в) швидкість збільшення температури знижується і до кінця п'ятої хвилини в підшкірних тканинах настає стан рівноваги, тобто кількість тепла, утвореного поглинутою енергією в тканині, дорівнює тій кількості тепла, яка витрачається в одиницю часу в результаті дифузії, випромінювання, розширення судин і збільшення швидкості кровообігу, а також в результаті хімічних перетворень, що потребують витрачання тепла, тощо.

На глибині 2,5 і 3 мм підвищення температури в часі відрізняється від приросту її в підшкірних тканинах. На цій глибині температура підвищується не лінійно з часом, а теплова рівновага настає пізніше і при менших значеннях температури.

Наши спостереження, а також літературні дані (Кларк, 1950; Кук, 1952) дають нам підставу твердити, що в умовах місцевого опромінення тварини або людини температура на поверхні тіла буде максимальна, якщо між поверхнею тіла і аплікатором помістити матеріал із зниженою провідністю і нема додаткових умов для охолодження.

Завдяки експоненціальному закону поглинання хвиль (Солсбері, Кларк і Хайнес, 1949) і великому коефіцієнту їх поглинання (при $\lambda=3$ см, $a=15$) майже вся енергія хвиль поглинається в підшкірних тканинах і, значить, проникає на незначну глибину. Однак той факт, що підвищення температури починається одночасно з початком опромінення на глибинах до 3 мм, свідчить про те, що мікрохвилі довжиною

3 см проникають більш, ніж на 1 мм, як це вказує Ю. Є. Москаленко (1960) та інші.

На рис. 4 показано розподіл температури в глибині тканини при опроміненні тварини мікрохвильами інтенсивністю $0,35 \text{ вт}/\text{см}^2$. Як завжди, такі вимірювання провадили негайно після опромінення через 1, 2, 3, 4 і т. д. хвилини. Криві на рис. 4 утворені в результаті безперервного одночасного вимірювання температури на різній глибині, а потім зареєстровано значення температури наприкінці кожної хвилини. Так було виключено вплив

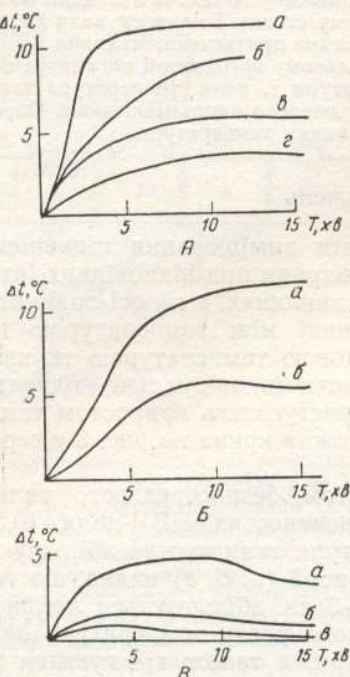


Рис. 3. Збільшення температури на різний глибині (a —1 мм, b —2 мм, c —2,5 мм, d —3 мм), при місцевому опроміненні електромагнітними хвиліми довжиною 3 см.

A — інтенсивність $0,35 \text{ вт}/\text{см}^2$,
 B — $0,22 \text{ вт}/\text{см}^2$, C — $0,1 \text{ вт}/\text{см}^2$.

нання електромагнітної енергії, розподіляється за глибину, нагадуючи експоненціальний розподіл. Починаючи з п'ятої хвилини опромінення, на кривій на глибині 2 мм з'являється опуклість, яка поступово збільшується, причому швидкість підвищення температури в цьому місці більша, ніж у підшкірних тканинах.

Це явище, очевидно, можна пояснити двома причинами. По-перше, температура цієї ділянки тканини може з надлишком підвищуватись внаслідок дифузії тепла від підшкірних тканин, де температура завжди найвища, а також тому, що поверхневі тканини більше охолоджуються в процесі опромінення внаслідок більшого градієнта температури між поверхнею тіла і навколошнім середовищем. По-друге, появу опуклостей на кривих розподілу при тривалому опромінюванні можна пояснити наявністю шару жирової тканини, яка лежить між шкірою і м'язовими тканинами. В природних умовах наявність шкіри, підшкірного жиру, кровообігу та його зміна при опромінюванні мікрохвильами тварини чи людини, як це показано в працях Кемпа, Пауля та ін. (1948), Стонер і Шапіро (1952), Рендолла, Іміг і Хайнес (1952), Абрамсон,

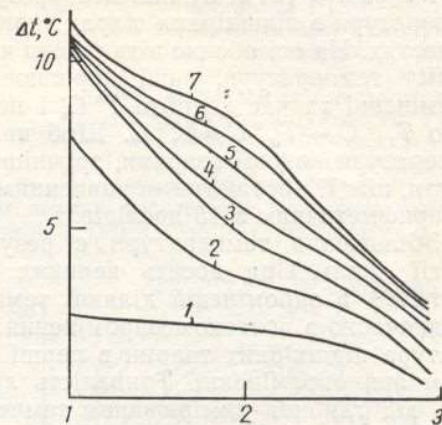


Рис. 4. Розподіл температури за глибиною при інтенсивності $0,35 \text{ вт}/\text{см}^2$. Числа на кривих показують тривалість опромінення в хвилинах. По горизонталі — глибина в мм, по вертикалі — приріст температури.

охолодження тканин в процесі вимірювання.

В перші 3—4 хв. опромінення тепло, утворене в тканинах в результаті поглинання електромагнітної енергії, розподіляється за глибину, нагадуючи експоненціальний розподіл. Починаючи з п'ятої хвилини опромінення, на кривій на глибині 2 мм з'являється опуклість, яка поступово збільшується, причому швидкість підвищення температури в цьому місці більша, ніж у підшкірних тканинах.

Це явище, очевидно, можна пояснити двома причинами. По-перше, температура цієї ділянки тканини може з надлишком підвищуватись внаслідок дифузії тепла від підшкірних тканин, де температура завжди найвища, а також тому, що поверхневі тканини більше охолоджуються в процесі опромінення внаслідок більшого градієнта температури між поверхнею тіла і навколошнім середовищем. По-друге, появу опуклостей на кривих розподілу при тривалому опромінюванні можна пояснити наявністю шару жирової тканини, яка лежить між шкірою і м'язовими тканинами. В природних умовах наявність шкіри, підшкірного жиру, кровообігу та його зміна при опромінюванні мікрохвильами тварини чи людини, як це показано в працях Кемпа, Пауля та ін. (1948), Стонер і Шапіро (1952), Рендолла, Іміг і Хайнес (1952), Абрамсон,

Харриса і Шрідера

Жирова

діелектрична

жати, що може залежність

довжина (тобто

кількість

жині хвилі, як

рівнює $\frac{\lambda \text{ см}}{\sqrt{\epsilon}}$

нлює 2,5 мм.

Препарув

шару по

го шару не

усіх досліда

В дослід

нераторах м

зували тільки

відстані від

чали тип ант

Проте, с

таких умова

всіх інших с

логості пове

клітковини т

ти результат

Застосу

гальне опро

нення більш

вість з доста

яка поглина

Вивчені

енергії мікр

теплових ін

енергію мік

стей опромі

нійною функ

З см проник

тепла, утвор

джені в пі

Встанов

лежно від

В усіх досл

ів п'ятої-шостої

ваги, тобто

енергії мік

той самий ч

інших факт

Б. Москаленко

тканини при
т/см². Як зав-
вадили негай-
1, 2, 3, 4 і т. д.
утворені в ре-
ночасного ви-
різній глибі-
значення тем-
пір хвилини на
ключено вплив

Харриса і Шредера (1957), значно ускладнює справжню картину розпо-
ділу температури в тканинах тварини або людини.

Жирова тканина має діелектричну сталу і втрату значно менші, ніж
діелектрична стала і втрата шкіри і м'яза. Крім того, є всі підстави вва-
жати, що може бути відбиття хвиль від поверхні шкіра — жир, жир —
м'яз і залежно від кута відбиття тепловий ефект може зменшуватись чи
збільшуватись. Відбиття мікрохвиль не буде за умов, коли «електрична»
довжина (товщина) жирового шару становить одну чверть або непарну
кратну кількість чвертей довжини хвилі в жировому шарі. Жирова
тканина має діелектричну сталу, яка приблизно становить 7,5. При дов-
жині хвилі, яка становить 3 см в повітрі, довжина в жировому шарі до-
рівнює $\frac{\lambda \text{ см}}{\sqrt{\epsilon}} = \frac{3 \text{ см}}{\sqrt{7,5}} \approx 1 \text{ см}$. Одна четверта частина цієї величини дорів-
нює 2,5 мм.

Препарування тварин після досліду і вимірювання товщини жиро-
вого шару показало, що для щурів тримісячного віку товщина жирово-
го шару не перевищує 1—2 мм. Отже, ідеальних умов погодження в
усіх дослідах не було.

Обговорення результатів досліджень і висновки

В дослідженнях по вивченю біологічного впливу мікрохвиль і в ге-
нераторах мікрохвильової терапії до останніх років опромінювання до-
зували тільки відносно — шляхом вимірювання потужності генератора,
відстані від антени-випромінювача до досліджуваного об'єкта, зазна-
чали тип антени, реєстрували тривалість опромінення і в деяких випад-
ках обчислювали густину потоку потужності.

Проте, оцінити енергію, яка поглинається біологічним об'єктом, в
таких умовах неможливо, тому що енергія поглинання мікрохвиль при
всіх інших однакових умовах залежить від багатьох інших причин: во-
логості поверхні тіла тварини або людини, наявності шкіри і жирової
клітковини та її товщини тощо. Всі ці факти не дозволяють порівнюва-
ти результати робіт, виконаних за цією методикою.

Застосування хвилеводних дозиметрів, які можуть забезпечити за-
гальне опромінення дрібних тварин (мишій, щурів) і місцеве опромі-
нення більших тварин (кроликів, собак і т. ін.) та людини дає можли-
вість з достатньою надійністю (15—5%) визначити енергію мікрохвиль,
яка поглинається в опромінюваному об'єкті.

Вивчення теплового ефекту, з одного боку, і визначення поглинутої
енергії мікрохвиль, с другого боку, в тваринному організмі в ділянці
теплових інтенсивностей дають можливість оцінити сумарну поглинуту
енергію мікрохвиль в умовах загального опромінення для тих тривало-
стей опромінення, коли приріст температури тварини залишається лі-
нійною функцією часу. Наші досліди показали, що мікрохвилі довжиною
3 см проникають на незначну глибину (1—3 мм), і найбільша кількість
тепла, утвореного в результаті поглинання енергії мікрохвиль, зосеред-
джена в підшкірних тканинах.

Встановлена наявність від'ємного температурного градієнта неза-
лежно від величини падаючої інтенсивності і тривалості опромінення.
В усіх дослідах при опромінюванні протягом 15—20 хв., починаючи з
п'ятої-шостої хвилини, приріст температури падає і настає стан рівно-
ваги, тобто кількість тепла, яке надійшло за одиницю часу у вигляді
енергії мікрохвиль, дорівнює тій кількості тепла, яке витрачається в
той самий час в результаті дифузії, конвекції, циркуляції крові і впливу
інших факторів. Однак, із значень температури, які встановлюються в

стані рівноваги, можна приблизно судити про падаючу інтенсивність променя для конкретного виду тварин, бо величина температури в цьому випадку залежить тільки від падаючої інтенсивності променя.

ЛІТЕРАТУРА

- Кугушев А. М., в кн. «Биологическое действие УВЧ», ВИЭМ, 1937, с. 26.
 Лазарев П. П., Клин. мед., т. 13, № 11, 1935, с. 34.
 Мирутенко В. И., Материалы научной конференции по вопросам биофизики и механизма действия ионизирующей радиации, К., 1960, с. 129.
 Москаленко Ю. Е., в кн. «Электроника в медицине». М.—Л., 1960, с. 207.
 Пресман А. С., Успехи соврем. биол. т. 41, в. 1, 1956, с. 40; Бюлл. экспер. биол. и мед., № 2, 1957, с. 51; Биофизика, т. 3, в. 3, 1958, с. 354; т. 6, в. 3, 1961 с. 370.
 Пресман А. С., Каменский Ю. И., Биофизика, т. 6, в. 2, 1961, с. 231.
 Романов В. И., Труды совещ. по вопр. применения КВ и УКВ в медицине, Медгиз, 1940.
 Тягин Н. В., Труды ВМА им. С. М. Кирова: «О биологическом действии СВЧ-поля», Л., 1957, с. 9.
 Abgramson D. I., Harris A. J., Schroeder J. M., Arch. Phys. Med. a. Rehabil., v. 38, N 6, 1957, p. 369.
 Clark J. W., Proc. IRE, v. 38, 1950, p. 1028.
 Cook H. F., Brit. J. Appl. Phys., v. 3, N 1, 1952a, p. 1; J. Physiology, v. 118, 1952 b, p. 1.
 Boyle A. C., Cook H. F. a. Buchanan T. J., Brit. J. Phys. Med., v. 13, 1950, p. 27.
 Horvath S., Miller H., Hutt B., Amer. J. Med. Sc., v. 216, 1948, p. 919.
 Kemp C. R., Paul W. D. a. Hines H. M., Arch. Phys. Med., v. 29, 1948, p. 12.
 Krusen F. H., Herrick J. F. a. others, Proc. Staff. Meet. Mayo Clin., v. 22, 1947, p. 210.
 Leden I. M., Herrick J. F., Wakim K. G., Krusen F. H., Brit. J. Phys. Med., v. 19, 1947, p. 177.
 Marbury A. J., Paul W. D. a. Hines H. M., Arch. Phys. Med., v. 31, 1950, p. 151.
 Osborn S. L. a. Frederick J. N., JAMA, v. 137, 1945, p. 1036.
 Rae I. W., Herrick J. F., Wakim K. G., Krusen F. H., Arch. Phys. Med., v. 30, 1949, p. 199.
 Rendoll B. F., Imig C. J. a. Hines H. M., Arch. Phys. Med., v. 33, N 2, 1952, p. 73.
 Roberts I. S., Cook H. F., Brit. J. Appl. Phys., v. 3, 1952, p. 33.
 Salisbury W. W., Clark J. W., a. Hines H. M., Electronics, v. 22, 1949, p. 166.
 Stoner E. K. a. Shapiro H., Arch. Phys. Med., v. 33, N 5, 1952, p. 272.
 Schwan H. P. a. Piersol G. M., Amer. J. Phys. Med., v. 33, (6), 1954, p. 371.
 Schwan H. P. a. Kam Li, Arch. Phys. Med. a. Rehabil., 1955, p. 363; IRE Trans. Med. Electr., 1956.
 Vendrick A. J. a. Vos J. J., J. Appl. Physiology, v. II, 1957, p. 211.
 Wakim K. G., Gersten I. W., Herrick J. F., Elkins E. C.
 Porter A. N. and Krusen F. H., Arch. Phys. Med., v. 29, 1948, p. 583.
 Worden R. E., Herrick J. F., Wakim K. G. and Krusen F. H., Arch. Phys. Med., v. 29, 1948, p. 751.

Надійшла до редакції
22. VII 1961 р.

Изучение ме

Лаборатор

Были про-
действии элек-
от поля и врем-
торый дает вс-
гическом объе-
зиметра с наг-
торый в опыте

При облучу-
тет линейно во-

Изучение
энергий СВЧ
казывает эксп

Энергия (с
кожных ткане-
чается отрица-

Study of t

Laboratory of bi

Experi-
magnetic wav-
of action, by re-
determine the
object. The ag-
mated by the
 $1.1 \leq SWC \leq 1.3$

The temp-
creases linear

A study of
the superhi-
four minute it

The energ-
three millime-
of field intens

інтенсивність
ратури в цьо-
променя.

ІЭМ, 1937, с. 26.

вопросам біофи-
зики. 1929.

М.-Л., 1960,

; Бюлл. экспер.
6, в. 3, 1961

. 6, в. 2, 1961,

и УКВ в меди-
ческом действии.

M., Arch. Phys.

J. Physiology,

J. Phys. Med.,
v. 216, 1948,

ys. Med., v. 29,
sheet. Mayo Clin.,

use n F. H.,
n. Phys. Med.,

5, p. 1036.
use n F. H.,

ys. Med., v. 33,
2, p. 33.

, Electronics,
5, 1952, p. 272.

v. 33, (6), 1954,
1955, p. 363;

1, 1957, p. 211.
lkins E. C.

1948, p. 583.
use n F. H.,

до редакції
1961 р.

Изучение местного теплового действия электромагнитных волн длиной 3 см на животных

В. И. Мирутенко

Лаборатория биофизики Института физиологии им. А. А. Богомольца
Академии наук УССР, Киев

Резюме

Были проведены опыты по изучению теплового эффекта при воздействии электромагнитных волн в импульсном режиме в зависимости от поля и времени воздействия, при помощи волноводного дозиметра, который дает возможность определить количество поглощенной в биологическом объекте энергии волн. Оценка согласования волноводного дозиметра с нагрузкой определялась по коэффициенту стоячей волны, который в опыте был $1,1 \leq K_{CB} \leq 1,3$.

При облучении крыс в течение 1—3 мин. температурный эффект растет линейно во времени для области интенсивностей от 0,1 до $0,35 \text{ вт}/\text{см}^2$.

Изучение распределения тепла, продуцированного поглощенной энергией СВЧ-поля, вглубь тканей, в течение первых четырех минут показывает экспоненциальный характер распределения.

Энергия СВЧ-поля поглощается в первых трех миллиметрах подкожных тканей и в исследуемом диапазоне интенсивностей поля отмечается отрицательный температурный градиент.

Study of the Local Thermal Action of 3 cm Electromagnetic Waves on Animals

V. I. Mirutenko

Laboratory of biophysics of the A. A. Bogomoletz Institute of Physiology of the Academy of Sciences of the Ukrainian SSR, Kiev

Summary

Experiments were conducted on the thermal effect produced by electromagnetic waves under pulse conditions, depending on the field and time of action, by means of a wave-guide dosimeter, which makes it possible to determine the quantity of absorption of wave energy in the biological object. The agreement of the wave-guide dosimeter with the load was estimated by the standing wave coefficient, which in the experiment was $1,1 \leq SWC \leq 1,3$.

The temperature effect with irradiation on rats lasting 1—3 minutes increases linearly in time for the range of intensities from 0.1 to $0,35 \text{ w}/\text{cm}^2$.

A study of the distribution of heat produced by the absorbed energy of the superhigh-frequency field in the tissues shows that during the first four minute it is of an exponential nature.

The energy of the superhigh-frequency field is absorbed in the upper three millimetres of subcutaneous tissues, and in the investigated range of field intensities there is a negative temperature gradient.